

## Дослідження наносистеми термочутливий розгалужений полімер/нанозолото/Хлорин еб у буферному розчині Хенкса

**Ю.І. Гарагуц, Н.В. Куцевол, Н.П. Мельник, О.М. Надтока, П.А. Вірич**

Київський національний університет імені Тараса Шевченка, хімічний факультет  
60, вул. Володимирська, Київ, 01033, Україна, garaguts.yulia.fox@gmail.com

*Проведено порівняльні дослідження поведінки розчинів розгалуженого зіркоподібного кополімеру декстран-полі-N-ізопропілакриламід, наночастинок золота в цій полімерній матриці та наносистеми полімер/нанозолото/Хлорин еб у воді та у буферному розчині Хенкса, який використовують для випробовувань на культурах клітин, у діапазоні фізіологічних температур. Показано, що у сольовому розчині Хенкса не відбувається значних змін параметрів нанокомпозитів порівняно з водними розчинами. Встановлено, що в дослідженому діапазоні температур розмір наночастинок золота не змінюється. Методом динамічного світлорозсіювання виявлено, що за наявності фотосенсибілізатора відбувається незначний процес агрегації у системі. Це підтверджує факт взаємодії Хлорину еб з полімером-наносистемою, що узгоджується з результатами УФ-видимої спектроскопії. Показано, що фотодинамічна активність наносистеми полімер/нанозолото/Хлорин еб in vitro практично не відрізняється від ефективності вільного Хлорину еб за тієї ж концентрації.*

**Ключові слова:** термочутливий кополімер, декстран-полі-N-ізопропілакриламід, наночастинки золота, Хлорин еб, фотодинамічна терапія.

### Вступ.

Одним із найбільш перспективних методів лікування раку вважається терапія з використанням лазера, оскільки лазерне випромінювання можна дозувати, змінювати його параметри, воно не спричиняє больових ефектів та не викликає алергії. Метод фотодинамічної терапії (ФДТ) базується на поєднанні лазера та фотосенсибілізатора (ФС) для лікування ряду онкологічних захворювань. Ефективне застосування ФДТ зумовлене селективним накопиченням ФС у необхідному місці (наприклад пухлині) та можливістю локалізовано його опромінювати, відповідно практично відсутніми побічними ефектами та малою травматичністю в цілому. Відомо, що ФС не токсичні без світлової експозиції, тому, навіть частково накопичуючись у нормальніх тканинах завдяки можливості опромінення у потрібній ділянці, не спричиняють токсичного ефекту [1]. Проте, і у ФДТ є один серйозний недолік – світлове випромінення, на відміну від рентгенівського, не здатне проникати глибоко в тканини, що значно обмежує можливості застосування методу. Один із способів покращення світлоочутливості ФС пов’язаний з можливістю плазмонного підсилення фотофізичних процесів, які забезпечують ФДТ, а саме поглинання світла барвником-фотосенсибілізатором. При цьому існують дві можливості підвищення ефективності ФДТ – це використання як матриць-наносистем полімерних макромолекул і наночастинок золота.

Відомо, що полімери покращують доставку ліків у специфічні клітини та тканини. Вже на стадії попередніх досліджень вченим університету вдалося продемонструвати високу ефективність розгалужених біосумісних полімерів декстран-поліакриламід як векторів-наносів у медикаментозній терапії та основи для приготування наносистем, які містять одночасно металеві наночастинки і ФС хлорин еб. Було успішно продемонстровано, що зв’язування з розгалуженими полімерами зменшує агрерацію ФС, а розгалужена полімерна матриця дає змогу синтезувати стабільну в часі наносистему, яка містить і наночастинки золота. Вибір на користь використання саме нанорозмірного (колоїдного) золота зумовлений тим, що останнє практично нетоксичне та має спорідненість з біологічними факторами, які забезпечують ріст судин. На першій стадії пухлина збільшується, поглинаючи поживні речовини з тканин, які її оточують. Після того, як її розмір досягає 1,5–2,0 мм, спрацьовує механізм судиноутворення. Здатність наночастинок золота проникати крізь ендотелій пухлинних судин забезпечує вищу селективність накопичення протиракових засобів у пухлині. Явище локалізованого поверхневого плазмонного резонансу в наночастинках золота приводить до появи інтенсивної плазмонної смуги у спектрі поглинання, що дає можливість використовувати наночастинки золота у плазмонній фототермічній терапії, при якій опромінення

наночастинок на довжині хвилі поглинання плазмонів спричиняє сильне локальне нагрівання, яке руйнує навколошні злоякісні клітини і тканини. Крім цього, полімерна матриця перешкоджає процесу агрегації ФС. Усі ці фактори сприяють глибшому проникненню ФС у клітини пухлини при використанні методу ФДТ.

Наночастинки золота виявляють особливі фізичні, хімічні та фармакологічні властивості, які їй визначають їх застосування як носій специфічних молекул, компонентів біосенсорів і каталізаторів [2, 3]. Наноматеріали на основі золота підвищують терапевтичний ефект цих препаратів для ФДТ терапії [4]. При цьому дуже важливими є розмірні характеристики наночастинок золота, а також агрегативна стійкість отриманих систем [5]. Саме з цією метою використовуються полімерні матриці, оскільки саме макромолекули полімерів впливають на процеси утворення частинок металів, контролюючи їх розмір і форму, створюючи захисні екрани навколо наночастинок за рахунок специфічних взаємодій з їхньою поверхнею і агрегація наносистеми не відбувається [6, 7]. Як полімерні матриці можна використовувати біосумісні високомолекулярні речовини контролюваної молекулярної архітектури, що дає змогу передбачати їхню поведінку. В нашій роботі [8] було показано високу ефективність нанокомпозиту для ФДТ, який містив наночастинки золота (AuNPs), ФС хлорин e6 (Сe6), інкорпоровані в аніонну зіркоподібну матрицю декстран-поліакриламід-(ко)-поліакрилова кислота. Нами було синтезовано та досліджено зіркоподібні розгалужені термочутливі кополімери декстран-полі-N-ізопропілакриламід (Д-ПНІПАА), які мають фазовий переход у діапазоні фізіологічних температур. Показано можливість зміщення температури конформаційного переходу, регулюючи відстань між прищепленними ланцюгами у зіркоподібній макромолекулі Д-ПНІПАА на 3–4 °C у порівнянні з лінійним ПНІПАА, для якого НКТР (нижня критична температура розшарування) дорівнює 32 °C. Було синтезовано наночастинки золота (AuNPs) у полімерних матрицях Д-ПНІПАА [9, 10]. Показано існування аномального гістерезису для наносистеми Д-ПНІПАА/AuNPs при її нагріванні та охолодженні [11].

Оптичні властивості наночастинок благородних металів характеризуються наявністю в області видимого світла яскраво вираженої резонансної смуги, так званої смуги поверхневого плазмонного резонансу (ППР). Її виникнення пов’язане з утворенням поверхневих плазмонів – колективних коливань електронів пропорціональністі металу поблизу межі розділу метал–діелектрик [12]. Відомо [13], що на положення смуги ППР істотно впливають характеристики індивідуальних частинок, зокрема радіус наносфери і діелектричні властивості навколошнього середовища.

Було продемонстровано перспективу використання Д-ПНІПАА як наноносія противухлини

препарату доксорубіцину [14], який вивільняється з нанокомпозиту при зміні гідрофільно-гідрофобного балансу макромолекули в області НКТР. Наступним завданням було синтезувати та дослідити наносистеми в полімерній матриці Д-ПНІПАА та протестувати їхню ефективність для фотодинамічної терапії.

Відомо, що агрегаційні процеси в наносистемі можуть призводити до втрати її біологічної ефективності, оскільки розмір наночастинок металів визначає їхню біологічну активність. Агрегація ж полімерних макромолекул може привести до критичного збільшення розміру нанокомпозиту, що також нівелює його активність. Показано [15, 16], що введення додаткового компонента в полімерний наноносій може призводити до зміни гідрофільно-гідрофобного балансу макромолекули і до значного агрегаційного процесу з утворенням великих полімерних агрегатів, які нагадують “листя папороті”. Зміна температури і природа розчинника також можуть впливати на стан наносистеми.

Метою цієї роботи було дослідити поведінку наносистеми полімер/AuNPs/Сe6, розчину індивідуального полімеру Д-ПНІПАА в діапазоні фізіологічних температур у воді та у буферному розчині Хенкса, який використовують для випробовувань на культурах клітин, а також протестувати їхню фотодинамічну активність.

#### Експериментальна частина.

**Синтез наносистеми Д-ПНІПАА/AuNPs.** Синтез термочутливих кополімерів декстран-полі-N-ізопропілакриламід і синтез наночастинок золота в полімерних матрицях на їх основі детально описано в [9, 10].

Молекулярні характеристики кополімеру з декстрановим ядром ( $M_w = 70000$ ) і 15-тіма полі-N-ізопропілакриламідними прищепленнями наведені в таблиці. Отримані в цій полімерній матриці наночастинки золота розміром 5–10 нм мають сферичну форму.

**Синтез наносистеми Д-ПНІПАА/AuNPs/Хлорин e6.** До 1 мл системи Д-ПНІПАА/AuNPs додавали 0,5 мл розчину Хлорину e6 ( $C = 154 \cdot 10^{-6}$  г/см<sup>3</sup>) та 8,5 мл буферного розчину Хенкса. Реакційну суміш інтенсивно перемішували.

Буферний розчин Хенкса був одержаний з Sigma-Aldrich (USA), фотосенсибілізатор Хлорин e6 (Сe6) був одержаний з Santa Cruz Biotechnology (USA).

**Динамічне світlorозсіювання (DLS)** вивчали на приладі Zetasizer Nano ZS90 (Malvern Instruments Ltd., UK), на якому встановлено 4-мВ He-Ne лазер з довжиною

Таблиця 1. Молекулярні характеристики кополімеру Д-ПНІПАА

Зразок	$M_w, 10^{-6}$	$M_n, 10^{-6}$	$M_w/M_n$	$n, \%$
Д-ПНІПАА	1,03	0,674	1,52	6,8

$M_w$  – середньовагова молекулярна маса, визначена методом світlorозсіювання;  $M_n$  – середньочислова молекулярна маса;  $M_w/M_n$  – ступінь поліdispersності;  $n$  – вміст декстранової компоненти.

—

$\lambda$ , нм

Рис. 1. УФ-спектри водного розчину розгалуженого кополімеру Д-ПНІПАА за температури 25–40–25 °C

хвилі 632,8 нм, а розсіяне світло детектується під кутом 173° (зворотне розсіювання).

Динамічне світlorозсіювання – найбільш універсальний і корисний набір методів для вимірювання *in situ* розмірів, розподілу розмірів і форми наночастинок [17]. Цей метод застосовували для вивчення зміни розмірів індивідуального Д-ПНІПАА, золю золота, синтезованого *in situ* в полімерній матриці, а також складного нанокомпозиту з додаванням фотосенсибілізатора Себ за температури 25 і 37 °C.

**УФ-видима спектроскопія.** УФ-спектри поглинання золів золота були отримані за допомогою Varian Cary 50 scan УФ-спектрофотометра (Пало-Альто, Каліфорнія, США) в діапазоні 200–800 нм при нагріванні від 25 до 40 °C і подальшому охолодженні до температури 25 °C з кроком 1 °C і термостатуванням 2 хв за кожної температури.

**Експерименти зі злоякісними клітинами *in vitro*.** Клітини лінії MT-4 (Т-клітинний лейкоз людини) були отримані з банку клітинних культур Інституту експериментальної патології, онкології і радіобіології імені Р.Е. Кавецького НАН України. Клітини підтримували в середовищі RPMI-1640, яке містить 10 % фетальній бічачої сироватки за температури 37 °C в інкубаторі з 95 %-вою вологістю і 5 %-вим вмістом CO<sub>2</sub> в повітрі. Для фотодинамічної обробки готували суспензії клітин, які перебувають у логарифмічній фазі росту (0,5 Å~106/мл), в збалансованому сольовому розчині Хенкса. Через 1,5 год. інкубації клітин за температури 37 °C з хлорином еб чи з його нанокомпозитом пробы двічі промивали 10-тикратним об’ємом розчину Хенкса і піддавали впливу червоного лазера випромінювання (довжина хвилі 658 нм, питома потужність 1,1 мВт/см<sup>2</sup>, доза 1 Дж/см<sup>2</sup>). Після опромінення клітини переносили в середовище для культивування та інкубували за T=37 °C протягом 18 год. для завершення фотодинамічно

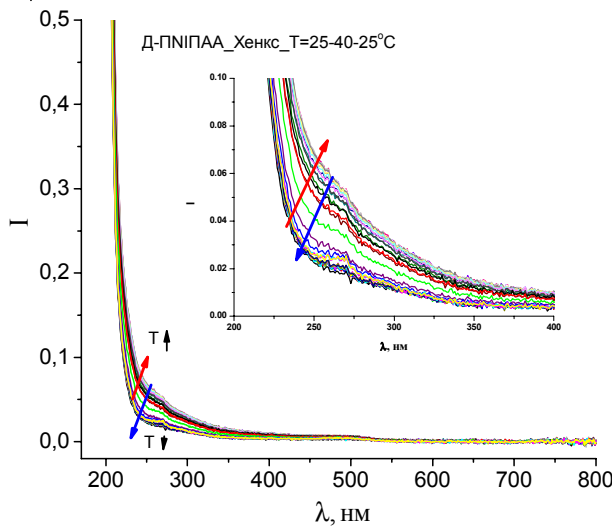


Рис. 2. УФ-спектри розгалуженого кополімеру Д-ПНІПАА у розчині Хенкса за температури 25–40–25 °C

індукованого процесу апоптозу. Потім визначали життездатність клітин за допомогою тесту на виключення барвника трипанового синього.

На рис. 1 і 2 показано УФ-спектри розчинів розгалуженого кополімеру Д-ПНІПАА у воді та в розчині Хенкса відповідно. Показано, що при нагріванні інтенсивність полоси абсорбції за 250–275 нм, яка характеризує абсорбцію карбонільної [18] C=O-групи зростає, а при охолодженні знову знижується. Спостерігається невеликий гістерезис процесу, що може бути результатом великої швидкості процесу нагрівання–охолодження. Оскільки концентрація карбоксильних груп у зразку залишається без змін, а змінюється лише температура, то зміни інтенсивності полоси абсорбції, яка відповідає карбонільним групам, можуть бути пов’язані з конформаційними змінами полімерного

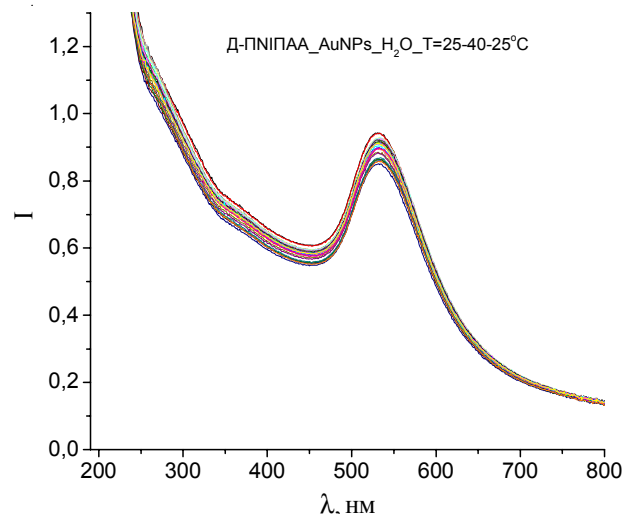


Рис. 3. УФ-спектри водних розчинів золів Au, синтезованих *in situ* в розгалуженому кополімері Д-ПНІПАА за температури 25–40–25 °C

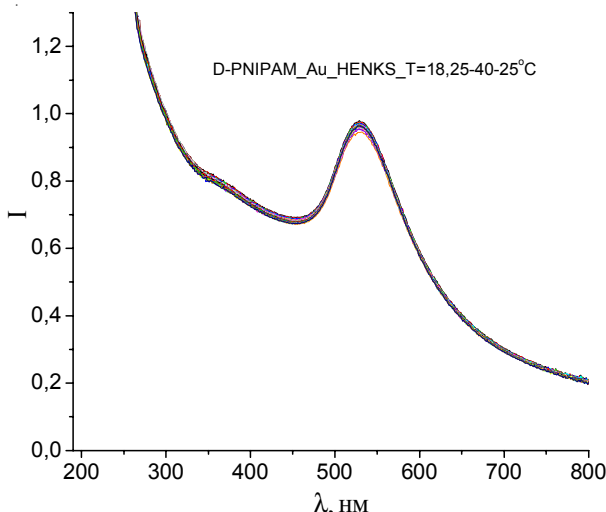


Рис. 4. УФ-спектри золів Au, синтезованих *in situ* в розгалуженому кополімері Д-ПНІПАА у розчині Хенкса за температури 25–40–25 °C

ланцюга в області НКТР.

Зміна інтенсивності аборбції в області 250–275 nm і характер зміни при нагріванні–охолодженні спостерігається для кополімеру Д-ПНІПАА як у воді, так і у розчині Хенкса. Проте в розчині Хенкса ці зміни менш виражені

На рис. 3 та 4 подано УФ-спектри золів Au, синтезованих *in situ* у кополімері Д-ПНІПАА, у воді та у розчині Хенкса. В обох системах спостерігається пік ППР наночастинок Au за 530 nm, який не зміщується при нагріванні. Проте спостерігається незначна зміна інтенсивності полоси ППР, що також може бути викликано конформаційними змінами макромолекули в області НКТР. У розчині Хенкса зміна інтенсивності ППР при нагріванні–охолодженні набагато менша, ніж у водному розчині.

На рис. 5 показано УФ-спектри гіbridних наносистем полімер/AuNPs/Ceb. Відомо, що спектр поглинання Себ має дві характеристичні смуги: в області 470–670 nm (перший електронний перехід), в області 350–440 nm (другий електронний перехід) – так звана смуга Cope [19] (рис. 6).

Як видно, для наносистеми полімер/AuNPs/Ceb (рис. 7) у спектрі аборбції проявляються дві компоненти: фотосенсибілізатор (смуга Соре в області 400 nm та одна з Q-смуг 671 nm) і наночастинки золота (530 nm). Як зазначалось вище, полімерна матриця не поглинає у даному діапазоні довжин хвиль.

Зі спектра видно, що внески в поглинання компонентів потрійної системи не адитивні, що особливо проявляється в області поглинання наночастинок. Також спостерігається ускладнення контуру смуги ППР за наявності фотосенсибілізатора. Можна зробити висновок про спектральні прояви взаємодії фотосенсибілізатора Себ з наночастинками золота.

При нагріванні наносистеми положення піків не

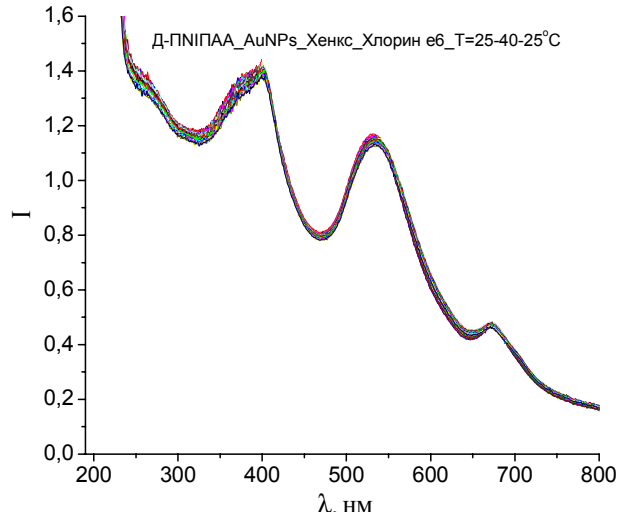


Рис. 5. УФ-спектри розчинів золів Au, синтезованих *in situ* в розгалуженому кополімері Д-ПНІПАА в розчині Хенкса з додаванням фотосенсибілізатора Себ за температури 25–40–25 °C

змінюються. Інтенсивність піка плазмонного резонансу AuNPs при нагріванні та подальшому охолодженні знижується, що, можливо, пояснюється утворенням деякої кількості осаду після вимірювань. Це свідчить про те, що після нагрівання систему не можна повторно використовувати, бо відбуваються незворотні зміни.

У нашій роботі [10] методом динамічного світлорозсіювання було проаналізовано розчин Д-ПНІПАА та наносистему Д-ПНІПАА/AuNPs у воді. Показано, що в наносистемі Д-ПНІПАА/AuNPs реєструються вільні наночастинки золота розміром 10 nm, макромолекули Д-ПНІПАА з інкорпорованими наночастинками золота розміром 40 nm, а також незначна частина агрегатів макромолекул з інкорпорованими наночастинками золота.

Розмірні характеристики індивідуального

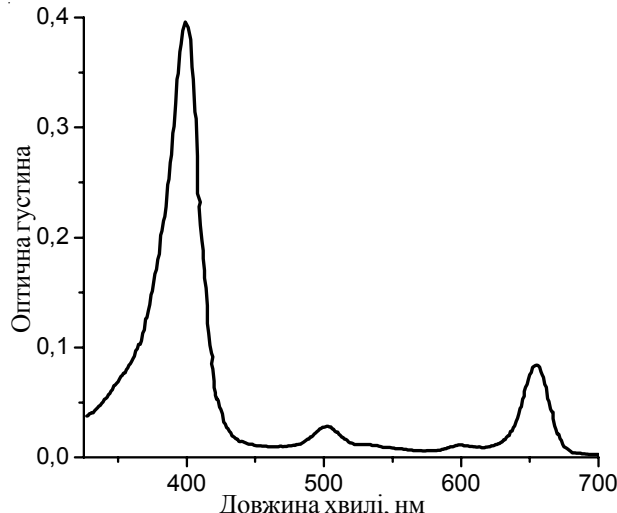


Рис. 6. Спектр аборбції Хлорину e6 за температури 25 °C

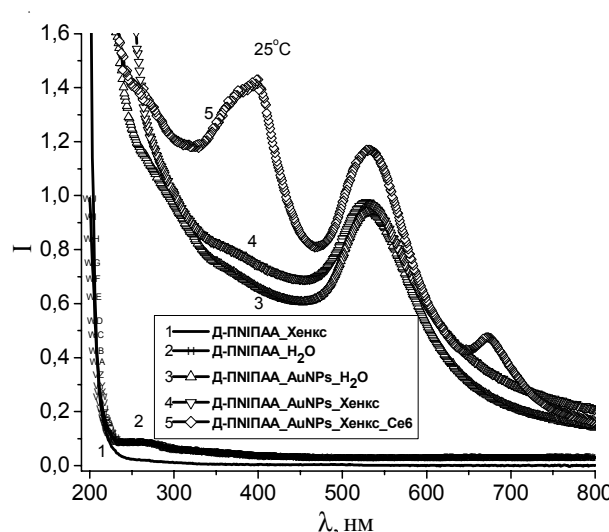


Рис. 7. УФ-спектри розчинів індивідуального полімеру та золів Au, синтезованих *in situ* в кополімері Д-ПНІПАА у воді та розчині Хенкса, а також складного нанокомпозиту полімер/AuNPs/Себ за температури 25 °C

Д-ПНІПАА, наносистем Д-ПНІПАА/AuNPs і Д-ПНІПАА/AuNPs/Себ у сольовому розчині Хенкса подано на рис. 8.

Як видно, у розчині Хенкса розмір наночастинок золота у золі золота становить 10 нм і практично не змінюється для наносистеми полімер/AuNPs/Себ.

За  $T = 25$  °C спостерігається незначне зменшення розміру індивідуальних макромолекул Д-ПНІПАА до 30–35 нм, а також реєструється незначна кількість агрегатів макромолекул або поява невеликих піків в області 110–130 нм, що також може свідчити про відхилення форми розсіюючого макромолекулярного клубка від сферичної форми. Для системи полімер/AuNPs реєструється збільшення розмірів макромолекулярного клубка до 110 нм, що свідчить про утворення агрегатів, які містять декілька макромолекул, які більш компактні у порівнянні з індивідуальними макромолекулами. Для наносистеми полімер/AuNPs/Себ розмір наночастинок золота не змінюється, проте відбуваються кардинальні зміни в структурі агрегатів, і, як наслідок, спостерігається біомодальний розподіл інтенсивності піка, який характеризує агрегати.

Результати аналізу даних динамічного розсіювання світла досліджуваних систем у розчині Хенкса за  $T = 37$  °C подано на рис. 9.

При підвищенні температури до 37 °C реєструється зменшення розмірів агрегатів макромолекул до 80 нм, що є результатом часткового колапсу макромолекул полімеру в області конформаційного переходу. Для золі золота, синтезованого в полімерній матриці Д-ПНІПАА, розмір наночастинок золота не змінюється, розмір нанооб'єктів, які складаються з макромолекул полімеру з інкорпорованими AuNPs, також

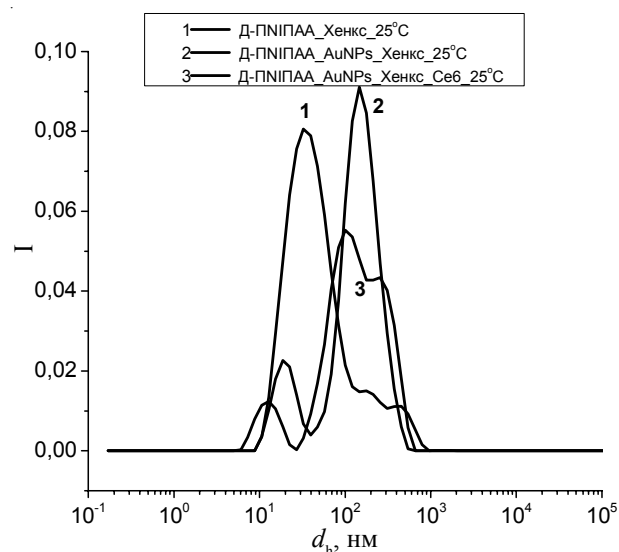


Рис. 8. Розподіли за гідродинамічними діаметрами розчинів індивідуального Д-ПНІПАА, золю золота, синтезованого *in situ* в полімерній матриці, а також нанокомпозиту полімер/AuNPs/Себ за температури 25 °C у розчині Хенкса

зменшується у порівнянні з розміром цих нанооб'єктів за  $T = 25$  °C. Інтенсивність розсіювання зменшується, що свідчить про компактизацію цих нанооб'єктів після НКТР.

Таким чином показано, що при формуванні потрійних наносистем Д-ПНІПАА/AuNPs/Себ, за  $T = 25$  °C наночастинки золота не змінюють свого розміру, хлорин еб інкорпорується в наносистему. Доведено, що у сольовому розчині Хенкса не відбувається кардинальних змін в наносистемі, і вона залишається стабільною.

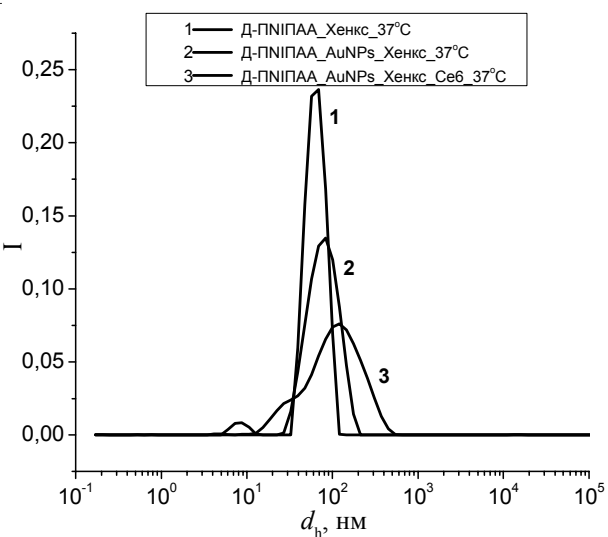


Рис. 9. Розподіли за гідродинамічними діаметрами розчинів індивідуального Д-ПНІПАА, золю золота, синтезованого *in situ* в полімерній матриці, а також нанокомпозиту полімер/AuNPs/Себ за температури 37 °C

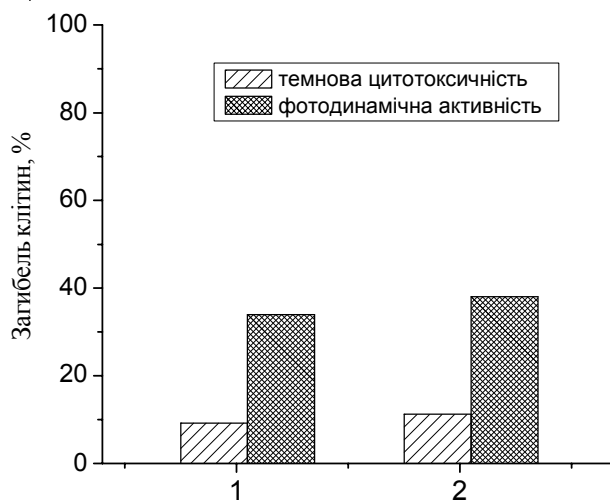


Рис. 10. Темнова цитотоксичність та фотодинамічна активність нанокомпозитів ( $c(\text{AuNPs})=1 \text{ мкг/мл}$ ,  $c(\text{С6})=0,1 \text{ мкг/мл}$ , опромінення 658 нм,  $1 \text{ Дж/см}^2$ , питома потужність  $1,1 \text{ мВт/см}^2$ ): 1 – С6; 2 – Д-ПНІПАА/АuNPs/С6

Виявлено, що у розчині Хенкса відбувається компактизація макромолекулярних клубків, що приводить до зменшення розмірів макромолекул-натоносіїв і агрегатів макромолекул, що може бути позитивним фактором для проникнення нанокомпозиту через клітинну мембрани. Проте механізм взаємодії наносистеми з клітинами – це предмет окремого дослідження. За  $T=37^\circ\text{C}$  для всіх дослідженних наносистем у буферному розчині Хенкса розмір наночастинок золота не змінюється, що важливо при медико-біологічному застосуванні цих систем для цільової доставки ліків, проте спостерігається компактизація агрегатів макромолекул, що може спричиняти блокування фотосенсиблізатора.

Для перевірки цього припущення було проведено *in vitro* тестування фотодинамічної активності наносистеми Д-ПНІПАА/АuNPs/С6 на культурі малігнізованих лімфоцитів людини МТ-4. Було встановлено, що за відсутності опромінення червоним кольором нанокомпозит не проявляє цитотоксичності. В той же час смертність лімфоцитів, попередньо інкубованих з нанокомпозитом, після лазерного опромінення була лише на 4 % вища, ніж смертність клітин, інкубованих з вільним хлорином еб за тієї ж концентрації. Таким чином агрегаційні процеси, а також компактизація полімеру-натоносія після НКТР, призводять до блокування фотосенсиблізатора.

Отже, агрегаційні процеси, а також компактизація полімеру-натоносія після НКТР, які були зафіковані в нанокомпозиті полімер/АuNPs/С6 при підвищенні температури до  $37^\circ\text{C}$ , призводять до блокування фотосенсиблізатора. Тому фотодинамічна активність нанокомпозиту Д-ПНІПАА/АuNPs/С6 набагато нижча, ніж для нанокомпозиту такого ж складу, але синтезованого в нетермочутливій полімерній матриці декстран-поліакриламід/ АuNPs/С6 [20] *in vitro*.

#### Висновки.

Доведено, що у сольовому розчині Хенкса не відбуваються кардинальні зміни в наносистемах Д-ПНІПАА/АuNPs і Д-ПНІПАА/АuNPs/С6 у порівнянні з тими ж системами у воді. У сольовому розчині Хенкса за  $T=25^\circ\text{C}$  відбувається лише незначне піджимання макромолекулярного клубка.

Виявлено, що за наявності фотосенсиблізатора відбувається незначний процес агрегації у системі, що є результатом зміни гідрофільно-гідрофобного балансу полімерної матриці. Це підтверджує факт взаємодії С6 з полімером-натоносієм, що було також підтверджено методом УФ-спектроскопії.

За температури  $37^\circ\text{C}$  для всіх дослідженних наносистем у буферному розчині Хенкса розмір наночастинок золота не змінюється, що важливо при медико-біологічному застосуванні цих систем для цільової доставки ліків, проте спостерігається компактизація агрегатів макромолекул, що може викликати блокування фотосенсиблізатора.

*In vitro* тестування фотодинамічної активності наносистеми Д-ПНІПАА/АuNPs/С6 на культурі малігнізованих лімфоцитів людини МТ-4 показало, що смертність попередньо інкубованих з нанокомпозитом лімфоцитів після лазерного опромінення була лише на 4 % вища, ніж смертність клітин, інкубованих з вільним хлорином еб за тієї ж концентрації. Таким чином агрегаційні процеси, а також компактизація полімеру-натоносія після НКТР, призводять до блокування фотосенсиблізатора.

*Робота виконана за частковою фінансовою підтримкою МОН спільних українсько-білоруських науково-дослідних проектів «Дизайн і фізико-хімічні властивості нових багатокомпонентних наносистем для лікування та діагностики солідних пухлин» (2019–2020 pp.).*

## Література

1. Gao De, Rodney R., Hao Xu. Nanoparticles for Two-Photon PDT in Living Cells. *Nano Letters*, 2006, **6**, no. 11: 2383-2387. <https://doi.org/10.1021/nl0617179>
2. Rieznichenko L. Features of gold nanoparticles application for bio- and nanosensors. *Int J Biosen Bioelectron*, 2018, **4** (2): 39-40. <https://doi.org/10.15406/ijbsbe.2018.04.00095>
3. Elahi N, Kamali M, Baghersad MH. Recent biomedical applications of gold nanoparticles: A review. *Talanta*, 2018, July 1, **184**: 537-556. <https://doi.org/10.1016/j.talanta.2018.02.088>
4. Chunlei Zhang, Chao Li, Yanlei Liu, Jingpu Zhang, Chenchen Bao, Shujing Liang, Qing Wang, Yao Yang, Hualin Fu, Kan Wang, Daxiang Cui. Gold nanoclusters-

- based nanoprobes for simultaneous fluorescence imaging and targeted photodynamic therapy with superior penetration and retention behavior in tumors. Wileyonlinelibrary, 2015. <https://doi.org/10.1002/adfm.201403095>
5. Kangze Liu, Zhonglei He, Hugh J. Byrne, James F. Curtin and Furong Tian. Investigating the Role of Gold Nanoparticle Shape and Size in Their Toxicities to Fungi. *Int. J. Environ. Res. Public Health*, 2018, **15**: 998. <https://doi.org/10.3390/ijerph15050998>
6. Ji Ho Youk, Mi-Kyoung Park, Jason Locklin, Rigoberto Advincula, Jinchuan Yang, and Jimmy Mays. Preparation of Aggregation Stable Gold Nanoparticles Using Star-Block Copolymers. *Langmuir*, 2002, **18** (7): 2455-2458. <https://doi.org/10.1021/la015730e>
7. Muriel K. Corbierre, Neil S. Cameron, Mark Sutton, Simon G. J. Mochrie, Laurence B. Lurio, Adrian Ruhm, and R. Bruce Lennox. Polymer-Stabilized Gold Nanoparticles and Their Incorporation into Polymer Matrices. *J. Am. Chem. Soc.*, 2001, **123** (42): 10411-10412. <https://doi.org/10.1021/ja0166287>
8. Shton I.A., Chumachenko VA, Shishko Ye.D., Kutsevol N.V., Arsentiev K.G., Gamaleya N.F. Synthesis and experimental testing of a new nanocomposite photosensitizer for photodynamic therapy. *Photobiology and experimental photomedicine (Ukr.)*, 2015, **1**, no. 2: 54-60.
9. Chumachenko V., Kutsevol N., Harahuts Yu., Rawiso M., Marinin A., Bulavin L. Star-like dextran-graft-pnipam copolymers. Effect of internal molecular structure on the phase transition. *Journal of Molecular Liquids*, 2017, **235**: 77-82. <https://doi.org/10.1016/j.molliq.2017.02.098>
10. Chumachenko V.A., Harahuts Yu.I., Kutsevol N.V., Melnik N.P., Nadtocka O.M. The investigation of nanosystem of branched polymer/nanogold in the region of conformational transition of a polymer matrix. *Polym.J.(Ukr.)*, 2018, **40**, no. 1: 36-40.
11. Yeshchenko O. A., Naumenko A. P., Kutsevol N. V., Maskova D. O., Harahuts Iu. I., Chumachenko V. A., Marinin A. I. Anomalous Inverse Hysteresis of Phase Transition in Thermosensitive Dextran-graft-PNIPAM Copolymer/Au Nanoparticles Hybrid Nanosystem. *J. Phys. Chem. C*, 2018, **122** (14): 8003-8010. <https://doi.org/10.1021/acs.jpcc.8b01111>
12. Shevtsova V.I., Hayduk P.I. The position of the band of surface plasmon resonance in colloidal solutions of silver and gold nanoparticles, *Vestnik BSU (Rus)*. Ser. 1, 2012, no. 2: 15-18.
13. Mohammed Alsawasta, Mamoun Wahbeh, and Vo-Van Truong. Plasmonic Modes and Optical Properties of Gold and Silver Ellipsoidal Nanoparticles by the Discrete Dipole Approximation. *J. Nanomaterials*, 2012, **2012**, Article ID 457968, 10 pages. <https://doi.org/10.1155/2012/457968>
14. Matvienko T., Sokolova V., Prylutska S., Harahuts Yu., Kutsevol N., Kostjukov V., Evstigneev M., Prylutskyy Yu., Epple M., Ritter U. In vitro study of the anticancer activity of various Doxorubicin-containing dispersions. *Bioimpacts*, 2019, **9**, no. 1: 59-70. <https://doi.org/10.15171/bi.2019.07>
15. Telegeev G., Kutsevol N., Chumachenko V., Naumenko A., Telegeeva P., Filipchenko S., and Harahuts Yu. Dextran-Polyacrylamide as Matrices for Creation of Anticancer Nanocomposite. *Int. J. Polym. Sci.*, 2017, Article ID 4929857. <https://doi.org/10.1155/2017/4929857>
16. Kutsevol N., Naumenko A., Chumachenko V., Yeshchenko O., Harahuts Y., Pavlenko V. Aggregation processes in hybrid nanosystem polymer/nanosilver/cisplatin. *Ukr. J. Physics*, 2018, July 12, **63**, no. 6: 513-520. <https://doi.org/10.15407/ujpe63.6.513>
17. Pecora R.. Dynamic light scattering measurement of nanometer particles in liquids. *J. Nanoparticle Research*, 2000, **2**: 123-131. <https://doi.org/10.1023/A:1010067107182>
18. Shanti R., Hadi A. N., Salim Y. S., Chee S. Y., Ramesh S. and Ramesh K. Degradation of ultra-high molecular weight poly(methyl methacrylate-co-butyl acrylate-co-acrylic acid) under ultra violet irradiation. *RSC Adv.*, 2017, **7**: 112-120. <https://doi.org/10.1039/C6RA25313J>
19. Losytskyy M.Y., Kharchenko R.A., Harahuts Y.I., Shirinyan E.A., Malinovska Y.V., Kutsevol N.V., Yashchuk V.M. Different effect of polymer-incorporated nanoparticles of Au and Ag on hematoporphyrin interaction with graft polymers. *Funct. Mater.*, 2019, **26** (1): 107-113. <https://doi.org/10.15407/fm26.01.107>
20. Chumachenko V. A., Shton I. O., Shishko E. D., Kutsevol N. V., Marinin A. I. and Gamaleia N. F. Branched Copolymers Dextran-Graft-Polyacrylamide as Nanocarriers for Delivery of Gold Nanoparticles and Photosensitizers to Tumor Cells. Chapter in the Book: Nanophysics, Nanophotonics, Surface Studies, and Applications, Vol. 183 of the series Springer Proceedings in Physics. Ed.: O. Fesenko, L. Yatsenko. 2016: 379-390. [https://doi.org/10.1007/978-3-319-30737-4\\_32](https://doi.org/10.1007/978-3-319-30737-4_32)

Надійшла до редакції 12 червня 2019 р.

## **Исследования наносистемы термочувствительный разветвленный полимер/ нанозолото/хлорин еб в буферном растворе Хэнкса**

**Ю.І. Гарагуц, Н.В. Куцевол, Н.П. Мельник, А.Н. Надтока, П.А. Вірич**

Киевский национальный университет имени Тараса Шевченко, Химический факультет  
60, ул. Владимирская, Киев, 01033, Украина

*Проведены сравнительные исследования поведения растворов разветвленного звездообразного сополимера Декстран-поли-N-изопропилакриламид, наночастиц золота в этой полимерной матрице и наносистемы полимер/нанозолото/Хлорин еб в воде и в буферном растворе Хэнкса, который используют для испытаний на культурах клеток, в области физиологических температур. Показано, что в солевом растворе Хэнкса не происходит значительных изменений параметров нанокомпозитов по сравнению с водными растворами. Установлено, что в исследованной области температур размер наночастиц золота не меняется. Методом динамического светорассеяния обнаружено, что в присутствии фотосенсибилизатора происходит незначительный процесс агрегации в системе. Это подтверждает факт взаимодействия Хлорина еб с полимером-наносистемой, что согласуется с результатами УФ-видимой спектроскопии. Показано, что фотодинамическая активность наносистемы полимер/нанозолото/Хлорин еб *in vitro* практически не отличается от эффективности свободного Хлорина еб в той же концентрации.*

**Ключевые слова:** термочувствительный сополимер, Декстран-поли-N-изопропилакриламид, наночастицы золота, Хлорин еб, фотодинамическая терапия.

## **Studying the nanosystem thermosensitive branched polymer/nanogold/chlorine e6 in Hanks' balanced salt solution**

**Yu.I. Harahuts, N.V. Kutsevol, N.P. Melnik, O.M. Nadtoka, P.A. Virych**

Taras Shevchenko Kyiv National University Department of Chemistry  
60, Volodymyrska str., Kyiv, 010601, Ukraine, garaguts.yulia.fox@gmail.com

*The comparative studies of the behavior of the branched star-like copolymer Dextran-poly-N-isopropylacrylamide, gold nanoparticles in the polymer matrix, and polymer/nanogold/Chlorine e6 nanosystem have been carried out in water and in the Hanks' balanced salt solution, used for testing on cell cultures, in the physiological temperature range. It has been shown that nanocomposite dimensional parameters do not undergo significant changes in Hank's balanced salt solution in comparison with aqueous solutions. The size of gold nanoparticles doesn't change in the temperature region studied. However, a slight aggregation process in nanosystem has been registered at the presence of photosensitizer. That was caused by the change in the hydrophilic-hydrophobic balance of the polymer matrix. It confirmed the interaction of Chlorine e6 with polymer-nanocarrier. This conclusion is in agreement with the results of UV-visible spectroscopy. The photodynamic activity of the polymer/nanogold/Chlorine e6 nanosystem has also been tested *in vitro*. The efficiency of the nanocomposite was not much different in comparison with the efficiency of free Chlorine e6 at the same concentration. Obviously, the aggregation processes and the compaction of the polymer-nanocarrier after LCST have resulted in blocking of the photosensitizer.*

**Key words:** термочувствительный сополимер, Декстран-поли-N-изопропилакриламид, золотые наночастицы, Хлорин е6, фотодинамическая терапия.